

سنتز پرکننده‌ی نانو سیلیکون کاربید آمین دار شده و کاربرد آن به منظور بهبود ویژگی‌های مکانیکی کامپوزیت بر پایه‌ی رزین اپوکسی

سید مجتبی موسوی^{۱*}، مهرداد امام وردی^۲ و اکبر میرزاپی^۲

۱- دانشیار شیمی آلی، گروه شیمی، دانشگاه جامع امام حسین (ع)، تهران، ایران
۲- کارشناس ارشد شیمی آلی، گروه شیمی، دانشگاه جامع امام حسین (ع)، تهران، ایران

دریافت: دی ۱۳۹۳، بازنگری: اردیبهشت ۱۳۹۴، پذیرش: خرداد ۱۳۹۴

چکیده: در این پژوهش با آمین دار کردن نانو ذرات سیلیکون کاربید (SiC)، ویژگی‌های مکانیکی کامپوزیت پلیمری بر پایه رزین اپوکسی اصلاح بررسی شده است. نخست سه مؤلفه‌ی زاویه چیدمان الیاف کربن، درصد وزنی SiC و مقدار عامل پخت در نظر گرفته شد و با انجام محاسبات و شبیه‌سازی نرم‌افزاری و رسم نمودار اولرلید، مقادیر هریک از مؤلفه‌ها محاسبه شد. سپس سطح نانو ذرات SiC با غوطه‌وری در هیدروفلوریک اسید تبدیل به Si-OH شد و در ادامه نانو ذرات SiC در مابین عامل دار کننده (۳-آمینوپروپیل) تری اتوکسی سیلان (APTES) در زمان‌های ۳۰، ۴۵، ۶۰ و ۷۵ دقیقه غوطه‌ور شد. نتیجه‌های آزمون‌های مکانیکی حاکی از ارتقاء ۲۰٪ مقاومت کششی و ۲۱٪ مقاومت ضربه‌ای با زمان غوطه‌وری ۶۰ دقیقه نسبت به مقادارهای به دست آمده از نمونه‌های قبل از عامل دار کردن است. طیف‌های IR انجام فرایند تشکیل گروه‌های سیلانول و همچنین پخت رزین اپوکسی را تأیید کرده است.

واژه‌های کلیدی: کامپوزیت بر پایه‌ی رزین اپوکسی، پرکننده نانو، سیلیکون کاربید، آمین دار کردن، ویژگی‌های مکانیکی

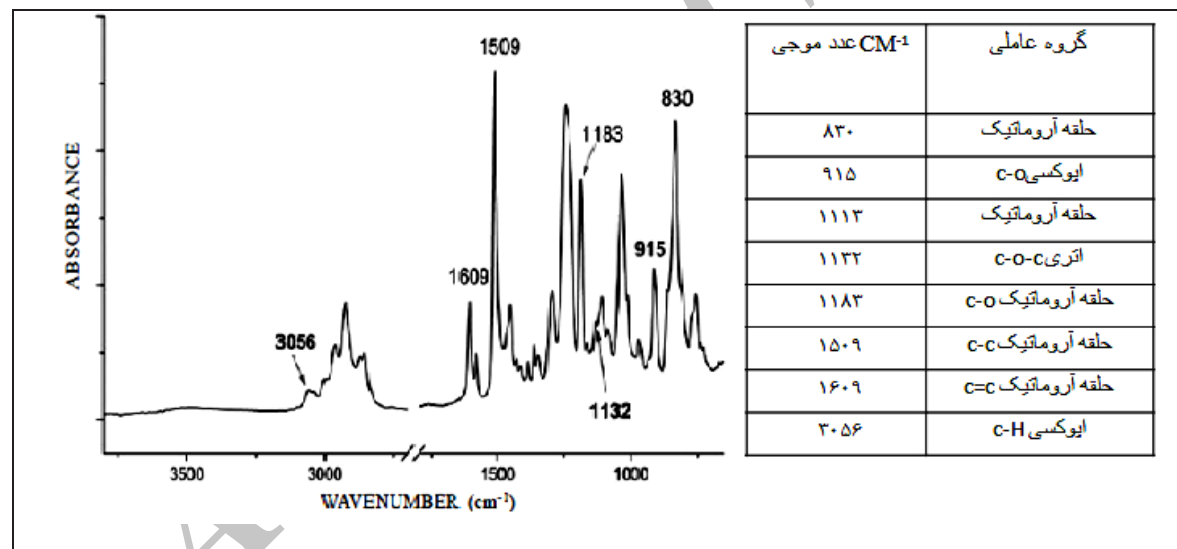
مقدمه

همچنین، فعالیت‌هایی در خصوص اصلاح ویژگی‌های سیلیکون به عنوان پرکننده‌ی پر کاربرد در انواع رزین‌ها صورت پذیرفته است. عامل دار کردن نیز مورد توجه است که کاربردهای گوناگونی در عرصه‌های زیستی، صنعت پلیمر و ... دارد. ساگار چولاک و همکارانش در دانشگاه سیدنی از پژوهش خود، با بررسی طیف‌های گرفته شده از رزین اپوکسی DGEBA در حالت خام و پس از پخت با عامل PAMS، چنین نتیجه گرفتند که در فرایند پخت رزین اپوکسی ساختار شبکه‌ای بوجود می‌آید. این ادعا با توجه به پیک موجود در ۹۱۵ cm^{-۱} که مربوط به پیوند C-O-C لحقة‌ی اپوکسی است مشخص می‌شود. در طیف‌های

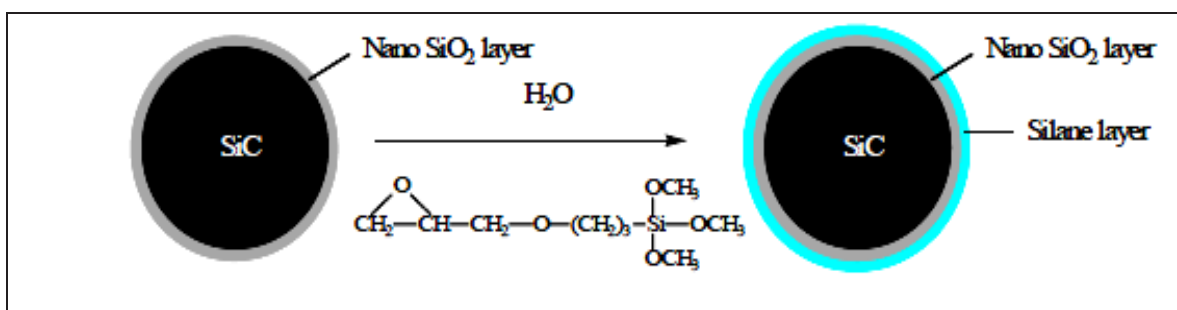
کاربرد گسترده‌ی رزین اپوکسی سبب شده است که پژوهش‌های فراوانی برای بررسی رفتار این ماده و اصلاح و بهبود ویژگی‌های آن صورت پذیرد. پژوهش‌گران با بررسی طیف‌های IR و CNMR انواع رزین‌های اپوکسی و بررسی تأثیر مؤلفه‌های متفاوت مانند نوع و مقدار عامل پخت کننده و اثر حضور مواد پرکننده و سایر افزودنی‌ها، دست به ارتقاء ویژگی‌های رزین‌های اپوکسی زده‌اند به گونه‌ای که امروزه نقش این رزین‌ها در صنایع متفاوت قابل کتمان نیست. در این راستا، پژوهش‌هایی در زمینه‌ی پخت رزین اپوکسی DGEBA و بررسی طیف‌های IR مربوط انجام شده است.

در شکل ۱ طیف IR رزین اپوکسی DGEBA به همراه جدول عدد موجی گروه‌های عاملی شاخص آورده شده است. سیلیکون کاربید که به عنوان پرکننده در ساختارهای کامپوزیتی به کار گرفته می‌شود، قابلیت رسانایی گرمایی کامپوزیت را بسیار بالا می‌برد. در پژوهشی که اویزن لیانگ و همکارانش در دانشگاه جورجیا امریکا انجام دادند، ذرات Si به‌وسیله‌ی یک لایه‌ی نانومتری از SiC پوشش‌دار و سپس در دمای بالا اکسید شدند. پس از آن سطح اکسید شده SiC به‌وسیله‌ی گلیسیدوکسی پروپیل تری متوكسی سیلان، سیلان دار شد. این عملیات باعث بهبود ارتباط پرکننده و پلیمر شد. شکل ۲ به صورت شماتیک این موضوع را بیان می‌کند. همچنین جدول ۱ نتیجه‌های این پژوهش را در بردارد [۳].

مربوط به رزین اپوکسی خام این پیک وجود دارد ولی در طیف اپوکسی پخته شده با پیک مورد نظر محو می‌شود [۱]. بررسی چگونگی پخت رزین‌های اپوکسی در انواع متفاوت آن به‌وسیله‌ی عوامل پخت متفاوت یکی از مسائلهای مهم صنعت امروز است و FT-IR ابزار مناسبی برای انجام این پژوهش است. ماریو گنزالس و همکارانش در دانشگاه مادرید اسپانیا بیان کردند که دو پیک شاخص در طیف زنجیر اپوکسی وجود دارد که نخستین پیک مربوط به پیوند C-O در حلقه‌ی اپوکسی با عدد موجی 915 cm^{-1} و پیک دوم مربوط به پیوند C-H در حلقه‌ی اپوکسی است که پس از واکنش پخت به OH-CH تبدیل می‌شود. این پیک در بازه‌ی 3050 cm^{-1} و بسیار ضعیف است. کاهش مقدار پیک اول و افزایش مقدار پیک دوم نشانه‌ی پخت رزین اپوکسی است [۲].



شکل ۱ طیف IR رزین اپوکسی

شکل ۲ شمای عامل‌دار کردن سطحی SiO_2

طریق رسم نمودار تنش-کرنش اشاره شده است. از این پژوهش نتیجه گرفته شده است که بهترین مقدار استفاده از نانوذرات Si با اندازه‌ی ۲۰ nm برای دست‌یابی به بالاترین ویژگی‌های مکانیکی مقدار ۱۵ درصد وزنی است [۵].

حسن محفوظ و همکارانش در دانشگاه تاسکنگی آلامبامی آمریکا به بررسی اثر افزایش نانو پرکننده‌ی SiC بر روی رزین اپوکسی پرداختند. در روش ایشان از پرکننده‌ی SiC به همراه عامل پخت دی گلیسیدیل اتر در ماده زمینه رزین اپوکسی از قالب‌گیری استفاده شده است. آن‌ها نتیجه گرفتند که با منظور کردن درصد اجزاء با نسبت‌های: ۶۰ تا ۷۰٪ رزین اپوکسی، ۲۰ تا ۳۰٪ عامل پخت اتری و ۱/۵ تا ۳٪ پرکننده‌ی SiC می‌توان ویژگی‌های مکانیکی را ۲۰ تا ۳۰٪ ارتقاء داد [۶].

بیوشیاکی ماتسو و همکارانش در دانشگاه هیوگوی ژاپن به این نتیجه رسیدند که ماده زمینه سیلیکایی با نام GO layer که دارای سطح سیلیکایی است پس از این که آب کافت می‌شود و گروه‌های Si-OH (سیلانول) تشکیل می‌شود، با RSi(OEt)_3 عامل دار شده و تشکیل Si-O-Si(OEt) را می‌دهد [۷].

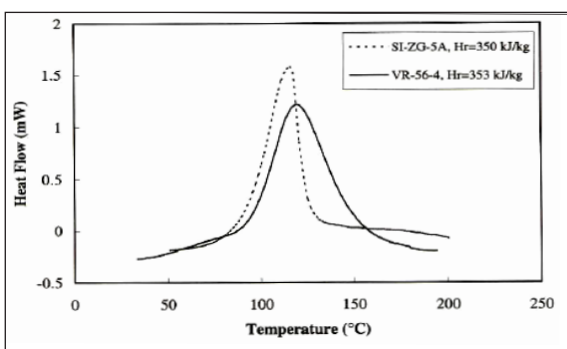
برای تمام کاربردهای Si از جمله استفاده از این مواد به عنوان تقویت‌کننده در کامپوزیت‌ها و بهویژه در ناحیه‌ی مابین ماده زمینه و مواد تقویت‌کننده که به طور معمول تحت اثر نیروهای واندروالسی قرار می‌گیرد، کنترل موفق سطح آن به دلیل واکنش‌پذیری شیمیایی لازم است. بالا بردن سطح ویژه‌ی این گروه از مواد، واکنش‌پذیری آن‌ها را بالا می‌برد. سطح Si می‌تواند طی فرایندهای متفاوت تحت اصلاح سازی سطحی قرار گیرد. تانکا و همکارانش پژوهش‌های خود را در این مورد به انتشار در آورdenد [۸].

بیمبیو و ماکیلا در مقاله‌ای که در سال ۲۰۱۱ میلادی منتشر ساختند، رسانش دارویی به سلول‌های مخاطی روده به‌وسیله‌ی نانوذرات سیلیکون متخلخل عامل دار شده را مطرح کردند. در این پژوهش ایجاد پیوندهای موقت واندروالسی بین عامل و دارو باعث انتقال دارو به بافت هدف شده و سپس در آن‌جا پیوند اصلی بین دارو و آنزیم ایجاد شده است [۹].

جدول ۱ نتیجه‌های پژوهش اویشن لینگ و همکارانش

نمونه	Tg(C)	مقاومت کششی (GPa)
Epoxy	۱,۹۲	۳۵,۷۳
Epoxy+10%wt SiC	۲,۳۳	۶۱,۵۵
Epoxy+20%wt SiC	۲,۶۷	۵۴,۲۲
Epoxy+40%wt SiC	۲,۷۲	۵۰,۰۳

برایان گریمسلی و روبرا تو کانو در مرکز پژوهش‌های ناسا ویژگی‌های یک نوع رزین اپوکسی با گرانزوی کم که در ساخت تجهیزات فضایی استفاده می‌شود را مورد مطالعه قرار دادند. بررسی فرایند پخت رزین اپوکسی به‌وسیله‌ی دو عامل پخت متفاوت آمینی (VR-56-4) و آنیدریدی (ZG-5A) موضوع این پژوهش است. ارتباط گرانزوی و درجه‌ی پخت در واحد زمان مورد سنجش قرار گرفت و معلوم شد اگرچه مقدار حداقل گرانزوی با هر دو عامل به تقریب یکسان است، اما عامل پخت آنیدریدی سریع‌تر و در دمای کمتر و با گرمایشی بیشتر نسبت به عامل پخت آمینی باعث پخت رزین اپوکسی می‌شود. شکل ۳ به این مطلب اشاره دارد [۴].



شکل ۳ ارتباط گرانزوی و درجه‌ی پخت در واحد زمان

سی‌تی‌سان از دانشگاه وست لافایت آمریکا در گزارش خود به بحث در مورد اصلاح ویژگی‌های مکانیکی رزین اپوکسی DGEBA با عامل پخت آمین آلیاتیک حلقوی به‌وسیله‌ی نانوذرات Si به‌منظور استفاده در سازه‌های بدنه‌ی کشتی می‌پردازد. در پژوهش وی به بررسی ویژگی‌های مکانیکی رزین اپوکسی از

محاسبات و شبیه‌سازی نرم‌افزاری در این پژوهش به دلیل وجود عامل‌های کمی فراوان، از روش‌های طراحی آزمایش کمومتریکس برای کاهش تعداد سطوح آزمایش و بهینه‌سازی استفاده شده است. همچنین از نرم‌افزار مینی تب برای آنالیز داده‌ها استفاده شده است. از آن جایی که درنهایت برسی ویژگی‌های مکانیکی تنش و کرنش در نمودار تنش-کرنش و به دست آوردن میزان چقرمگی، تأثیر آمین دار شدن را اثبات می‌کند، متغیرهای: مقدار SiC عامل‌دار X_1 شده، مقدار هاردنر و جهت الیاف کرین به عنوان متغیرهای X_2 و X_3 اجزاء طراحی مخلوط یا همان متغیرهای شبیه‌سازی نرم‌افزاری در نظر گرفته شده است. جدول ۲ مقدارهای واقعی و کدگذاری شده اثابت می‌کند، همچنین نتایج این اثبات را نشان داده است.

جدول ۲ مقدارهای واقعی و کدگذاری شده مؤلفه‌های اساسی

A. جهت‌گیری الیاف.	B. SiC (wt.%)	C. عامل پخت (phr)	کد مرحله
.	.	۲۱	۰...۰
۱۵/۰۳	۰/۸۳	۲۲/۶۷	۰/۱۸۷
۲۹/۹۷	۱/۶۶	۲۴/۳۳	۰/۳۳۳
۴۵	۲/۵	۲۶	۰/۵۰۰
۶۰/۰۳	۳/۳۳	۲۷/۶۷	۰/۶۶۷
۹۰	۵	۳۱	۱/۰۰۰

نمودارهای دو بعدی برای آزمون‌های مکانیکی اثبات فرایند اصلاح ساختار پرکننده سیلیکون کاربید به‌وسیله آزمون‌های ویژگی‌های مکانیکی صورت می‌پذیرد. این آزمون‌ها در کنار بررسی نتایج‌های طیف‌های شیمیایی می‌تواند کارآمد باشد. امروزه جهت انجام چنین پژوهش‌هایی از روش‌های شبیه‌سازی و طراحی آزمایش استفاده می‌شود تا با کم کردن زمان و هزینه، نتایج‌های مطلوب زودتر از پیش به دست آیند. همان‌طور که اشاره شد در این پژوهش با استفاده از روش‌های شبیه‌سازی و طراحی آزمایش مقدارهای مناسب اجزاء ترکیب به دست می‌آید.

ماکیلا و بیمبو همچنین مقاله‌ای در سال ۲۰۱۲ در مجله لانگ مویر با عنوان اصلاح ویژگی‌های سیلیکون کاربید متخلف به‌وسیله‌ی عامل آمین منتشر کردند. در این پژوهش آن‌ها به عامل‌دار کردن سیلیکون بر اساس زمان ثابت و غلظت متغیر پرداخته‌اند [۱۰].

یکی از محدودیت‌ها در استفاده از مواد پرکننده، ایجاد شکست در ساختار کامپوزیت به‌واسطه‌ی پدید آمدن مراکز تنش در منطقه‌ی بین فازی است. مرز مشترک ذرات پرکننده و ماتریس پلیمری را منطقه‌ی بین فازی می‌نامند. تنش ایجاد شده در این مناطق با تأثیر بر این مناطق حساس به سرعت توسعه پیدا کرده و باعث ایجاد ترک و درنهایت شکست کامپوزیت می‌شود.

هدف از انجام این پژوهش، اصلاح ویژگی‌های مکانیکی کامپوزیت بر پایه رزین اپوکسی از طریق فرایند عامل‌دار کردن نانو ذرات پرکننده SiC است. با عامل‌دار کردن پرکننده، واکنش بین نانو ذرات پرکننده و پلیمر اتفاق می‌افتد، همچنین سطح ویژه‌ی پرکننده به شدت افزایش می‌یابد که این باعث افزایش نیروهای واندروالسی در ناحیه‌ی بین فازی نانو ذره-پلیمر شده و در نتیجه سبب کاهش تنش و افزایش ویژگی‌های مکانیکی کامپوزیت می‌شود.

بخش تجربی

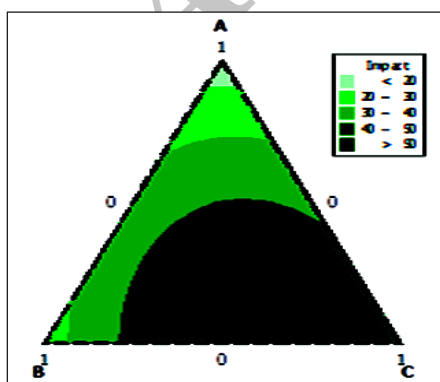
مواد مصرفی

رزین اپوکسی استفاده شده DGEBA با نام تجاری ایپون ۸۲۸ با وزن مولکولی g/eq ۱۹۲ ساخت کارخانه شل آمریکا و عامل پخت (هاردنر) استفاده شده سیکلوآلیفاتیک پلی آمین با نام تجاری آرادور ۴۲ ساخت کارخانه‌ی هانسمن است. ۳-آمینو پروپیل تری اتوکسی سیلان (APTES) از کارخانه‌ی مرک آلمان به عنوان عامل آمین دار کننده و نانو ذرات کروی کاربید سیلیکون با قطر میانگین ۴۰ nm تا ۶۰ nm و سطح ویژه ۲۷۰ g/m² تا ۱۸۰ g/m² از کارخانه‌ی تکنان تهیه شده است. حلال مورد استفاده در آماده‌سازی نمونه‌ها، تترا هیدرو فوران با درجه خلوص ۹۹٪ بوده که از کارخانه‌ی مرک آلمان تهیه شده است.

جدول ۳ سطوح طراحی همزن

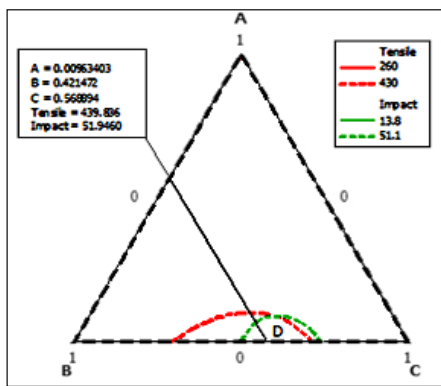
Std	عامل‌های طراحی به دست آمده از ضرایب متغیرهای X_1, X_2, X_3				نتیجه‌های آزمون‌ها	
	سطح طراحی (A)	جهت‌گیری الیاف (B)	SiC مقدار (C)	مقدار هاردنر (D)	مقاومت کششی (MPa)	مقاومت ضربه‌ای (KJ/m ²)
۲	-0,000	1,000	-0,000	1,000	370±14	23,6±0,3
۱	1,000	-0,000	-0,000	0,000	260±12	38,1±0,4
۳	-0,000	-0,000	0,000	1,000	373±11	41,2±0,2
۹	-0,167	-0,667	-0,167	0,667	414±0,8	42,6±0,5
۵	-0,500	-0,000	-0,000	0,500	362±12	38,2±0,3
۶	-0,000	-0,500	-0,000	0,500	430±14	51,1±0,4
۷	-0,333	-0,333	-0,333	0,333	400±12	42,5±0,5
۱۰	-0,167	-0,167	-0,667	0,667	420±15	49,5±0,3
۴	-0,500	-0,500	-0,000	0,000	326±14	33,4±0,4
۸	-0,667	-0,167	-0,167	0,167	332±15	33,8±0,6

می‌دهد. همچنین از نمودار شکل ۴ مشخص می‌شود که بالاترین حد نهایی ضربه در میان عامل‌های B و C رخ می‌دهد که این قسمت از نمودار تیوهتر از بقیه قسمت‌های نمودار است. این قسمت از نمودار با توجه به جدول شماره ۳ مربوط به سطوح ساخت ۷ و ۱۰ است که بالاترین حد نهایی ضربه مربوط به ساخت ۶ و ۵ است که بنا بر این حد نهایی ضربه مربوط به سطح ساخت شماره ۶ با $51,1 \text{ kJ/m}^2$ است. همچنین با توجه به نمودار شکل ۴ مشخص شده است که بالاترین حد نهایی ضربه در صفر درجه از جهت‌گیری الیاف، ۱,۹ درصد وزنی از SiC و ۲۷,۱ phr از درصد وزنی هاردنر به وقوع می‌پیوندد که مقدار آن $52,2 \text{ kJ/m}^2$ است.

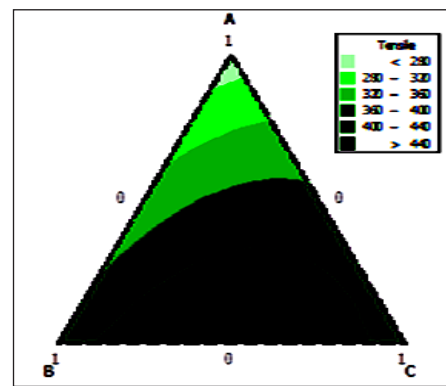


شکل ۴ نمودار دو بعدی برای آزمون ضربه

نمودارهای دو بعدی (۱) و (۲) به ترتیب برای آزمون‌های کشش و ضربه نشان داده شده است. این نوع از نمودارها نشان‌دهنده‌ی اثرات تغییر اجزاء مخلوط بر روی جواب نهایی مسأله است. این نوع از نمودارها دارای گستره‌های متفاوتی است و تغییر رنگ در این گستره‌ها تغییرات در جواب نهایی مسأله را در پی خواهد داشت. بنابراین، نواحی از این نمودار که دارای رنگ تیوهتری هستند دارای اهمیت بیشتری بر روی جواب نهایی مسأله نسبت به نواحی با رنگ روشن‌تر است. شکل‌های شماره ۴ و ۵ به ترتیب نمودارهای دو بعدی را برای آزمون‌های ضربه و کشش نشان می‌دهد. همان‌طور که از شکل ۵ برای آزمون کشش مشخص است که مقدار حد نهایی کشش بیشترین مقدار خود را دارد (بالاتر از 440 MPa). همان‌طور که از جدول شماره ۳ نیز می‌توان دید این مناطق تیوه مربوط به سطح ساخت ۶، ۷ و ۱۰ شبیه‌سازی آزمایش است که بیشترین آن برای سطح ساخت شماره ۶ با 430 MPa رخ می‌دهد. همچنین کمترین مقدار کشش در سطح ساخت ۱ با 260 MPa رخ می‌دهد. همچنین با توجه به نمودار شکل ۵ معلوم می‌شود بیشترین حد نهایی کشش 436 MPa در ۱۰ درجه از جهت‌گیری الیاف، ۳ درصد وزنی SiC و ۲۸ phr از هاردنر رخ



شکل ۶ نمودار اورلید برای کشش و ضربه



شکل ۵ نمودار دو بعدی برای آزمون کشش

سیلان با فرایند سیلان دار کردن اصلاح شد. قبل از الحاق سیلان، سطح SiC به وسیله غوطه‌ور شدن در هیدروفلوریک اسید فعال‌سازی شد. به جای باز تولید سیلیکون هیدرید، غوطه‌وری سیلیکون کاربید در هیدروفلوریک اسید باعث شکل گرفتن گروه‌های سیلانول (Si-OH) روی سطح موردنیاز برای سیلان دار کردن شد.

فرایند فعال‌سازی بدین صورت بود که مقدار SiC در نقطه بهینه (۲/۳۶ درصد وزنی) که در مرحله قبل (با توجه به نمودار اورلید) به دست آمد به مدت ۵ دقیقه در فلوریک اسید با نسبت حجمی ۱:۱ غوطه‌ور شد و سپس به مدت ۱۰ ساعت و در دمای ۶۵ °C قرار گرفت تا به طور کامل خشک شود.

آمین‌دار کردن

پس از ایجاد سیلانول مرحله‌ی عامل دار کردن SiC که دو بخش بود، انجام شد [۸ و ۹]. بخش اول غوطه‌وری در APTES-Toluene و دیگری خشک کردن آن است. برای عامل دار کردن SiC در این مرحله از غلظت ۱٪ حجمی APTES در حال تولوئن استفاده شد. پس از آزمایش‌هایی بر روی زمان غوطه‌وری بدین نتیجه دست یافته شد که زمان غوطه‌وری بر حد نهایی کشش و ضربه مؤثر است، به عبارت دیگر زمان غوطه‌وری یک عامل مهم مؤثر بر روی ویژگی‌های مکانیکی است. زمان‌های ۳۰، ۴۵، ۶۰ و ۷۵ دقیقه برای زمان غوطه‌وری SiC‌های سیلانیزه شده در نظر گرفته شد. پس از انجام غوطه‌وری باقیستی مازاد APTES حل شده از

نمودار اورلید

برای بهینه کردن ویژگی‌های مکانیکی نانو کامپوزیت‌های هیبریدی ۳ جزئی از جمله کشش و ضربه باقیستی توجه داشت که تنها به دست آوردن سطوح طراحی که بالاترین مقدار مقاومت مکانیکی در ضربه و کشش را دارا هستند کافی نیست و باقیستی محاسبات آماری و طراحی آزمایش را در آن‌ها پیاده کرد و سپس برترین سطح آزمون را به عنوان ملاک عمل کار تجربی انتخاب کرد. بنابراین، با در نظر گرفتن F-Test و ترسیم نمودار اورلید نسبت بهینه‌ی اجزاء به دست می‌آید. برای رسیدن به برترین درصد وزنی از اجزا که ویژگی‌های ضربه و کشش با هم در بالاترین مقدار خود باشند از نمودار اورلید استفاده می‌شود. همان‌طور که در شکل ۶ مشاهده می‌شود ناحیه‌ای از نمودار که با D نشان داده شده است، ناحیه‌ای است که بالاترین مقدارهای کشش و ضربه در یک زمان به دست می‌آید. با توجه به این نمودار و جدول شماره ۳، بالاترین ویژگی‌های مکانیکی کشش و ضربه در یک سطح ساخت در حدود صفر درجه از جهت‌گیری الیاف، ۲/۳۶ درصد وزنی از SiC و ۲۶/۶۸ phr از هاردنر رخ می‌دهد که بالاترین ویژگی‌های کشش و ضربه به ترتیب ۵۱/۹۴ kJ/m² و ۴۳۹/۸۳ MPa پیش‌بینی شده است.

تشکیل سیلانول

روند اصلاح سازی سطحی را می‌توان بدین صورت شرح داد که نانو ذرات SiC به صورت شیمیایی با مولکول‌های عاملی آلکوکسی

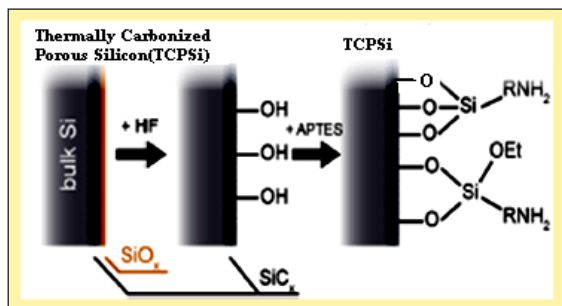
عامل پخت و نانو ذرات سیلیکون کاربید عامل دار شده، ترکیب به دست آمده تحت موج فرا صوت قرار گرفت و ترکیب به دست آمده به صورت فیلم های نازک بر روی ورقه های الیاف کربن قرار داده شد. پس از این مرحله ورقه ها در دمای محیط برای مدت یک شبانه روز پخته و سپس داخل آون خلاء به صورت مرحله ای، هر مرحله ۳۰ درجه و با فواصل زمانی حداقل ۳ ساعت از دمای ۴۰ تا ۱۲۰ درجه سانتی گراد مورد فرایند پخت نهایی قرار گرفت.

نتیجه ها و بحث

از زیبایی نتیجه های آزمون های مکانیکی

همان طور که پیشتر اشاره شد زمان غوطه ورسازی سیلانول در APTES-Toluene در نظر گرفته شده است. شکل ۸ نمودار حد نهایی ضربه در زمان های متفاوت از غوطه وری را نشان می دهد. مشاهده می شود که ۳۰ دقیقه غوطه وری حد نهایی ضربه را به ۵۵,۳ kJ/m² می رساند. این مقدار ۸٪ بیشتر از مقداری است که غوطه وری نداشتیم. این افزایش برای ۴۵ دقیقه غوطه وری به ۱۴٪ می رسد و بیشترین حد نهایی ضربه برای ۶۰ دقیقه غوطه وری بود که تحمل ضربه را به ۶۲,۱ kJ/m² رساند که ۲۱٪ افزایش را نسبت به حالتی که غوطه وری نداشتیم نشان می دهد. با افزایش بیشتر زمان غوطه وری حد نهایی ضربه کاهش می یابد. شکل ۹ نمودار تنش کرنش را برای آزمون کشش زمانی که عامل های جهت گیری الیاف و درصد وزنی عامل پخت (هاردنر) در نقطه بهینه خود قرار دارد (صفر درجه از جهت گیری الیاف SiC و ۲۶,۶۸ phr از عامل پخت و ۲,۳۶ درصد وزنی از پرکننده) محاسبه شده به حلال تتراهیدروفوران افزوده شد. این عمل به تدریج و در چند مرحله در دمای محیط و با استفاده از همزن مغناطیسی انجام شد. در مرحله ای بعد مقدار محاسبه شده از عامل پخت (هاردنر) به مخلوط رزین اپوکسی افزوده شد. این فرایند با اعمال خلاء برای خروج حباب انجام پذیرفت. سپس مخلوط به دست آمده با توجه به نسبت محاسبه شده برای نانو ذرات (پرکننده) به رزین اپوکسی افزوده شد. این مرحله با اعمال خلاء برای خروج حلال انجام گرفت. پس از اختلاط رزین اپوکسی،

بین می رفت. به منظور حذف APTES از ساختار نمونه ها محصول به صورت پی در پی با تولوئن، تولوئن-متانول و متانول شسته شده و به مدت ۳ دقیقه تحت موج فراصوت قرار گرفت شد. درنهایت، نمونه ها به مدت ۱۶ ساعت در ۶۵ درجه سانتی گراد خشک شد.

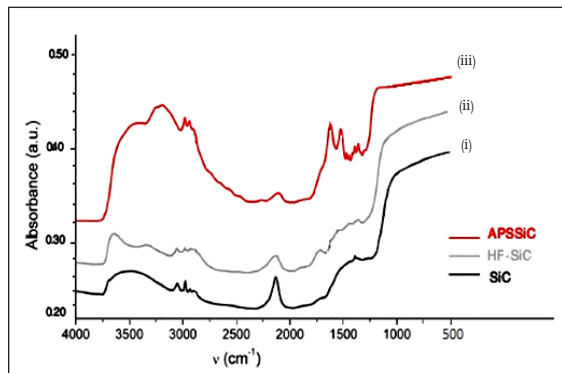


شکل ۷ فرایند عامل دار کردن سیلیکون کاربید

مرحله ای پخت با رزین اپوکسی

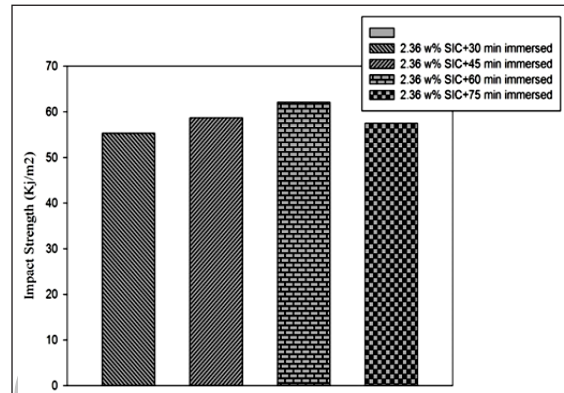
در مرحله ای پس نانو ذرات عامل دار شده با یستی به ماتریس رزین اپوکسی افزوده شود. رزین اپوکسی مورد استفاده در این آزمایش با وزن مولکولی ۱۹۲ g/eq دارای گرانوی بالایی است. بنابراین، جهت اختلاط مناسب نانو ذرات سیلیکون کاربید عامل دار شده در ماتریس اپوکسی، از حلال تتراهیدروفوران (THF)، به علت سازگاری آن با ماتریس اپوکسی، هاردنر و نانو ذرات سیلیکون کاربید عامل دار شده استفاده شد. به منظور اختلاط رزین اپوکسی، هاردنر و نانو ذرات سیلیکون کاربید عامل دار شده طبق فرایند زیر عمل شد:

نخست نانو ذرات سیلیکون کاربید عامل دار شده به مقدار محاسبه شده به حلال تتراهیدروفوران افزوده شد. این عمل به تدریج و در چند مرحله در دمای محیط و با استفاده از همزن مغناطیسی انجام شد. در مرحله ای بعد مقدار محاسبه شده از عامل پخت (هاردنر) به مخلوط رزین اپوکسی افزوده شد. این فرایند با اعمال خلاء برای خروج حباب انجام پذیرفت. سپس مخلوط به دست آمده با توجه به نسبت محاسبه شده برای نانو ذرات (پرکننده) به رزین اپوکسی افزوده شد. این مرحله با اعمال خلاء برای خروج حلال انجام گرفت. پس از اختلاط رزین اپوکسی،

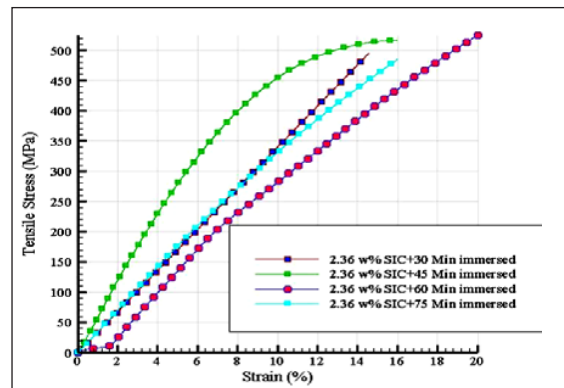


شکل ۱۰ طیف جذبی SiC: (i): قبل از فعال‌سازی (ii): پس از فعال‌سازی با HF (iii): پس از اعمال دار کردن با APTES

می‌رسد که در حدود ۱۹٪ افزایش را نسبت به حالتی که غوطه‌وری رخ نداده افزایش داده است. با افزایش زمان غوطه‌وری به ۷۵ دقیقه حد نهایی کشش و کرنش کاهش می‌یابد. نتیجه‌ها حاکی از آن است که بهترین زمان غوطه‌وری برای حد نهایی کشش ۶۰ دقیقه است.



شکل ۸ حد نهایی ضربه در زمان‌های متفاوت از غوطه‌وری



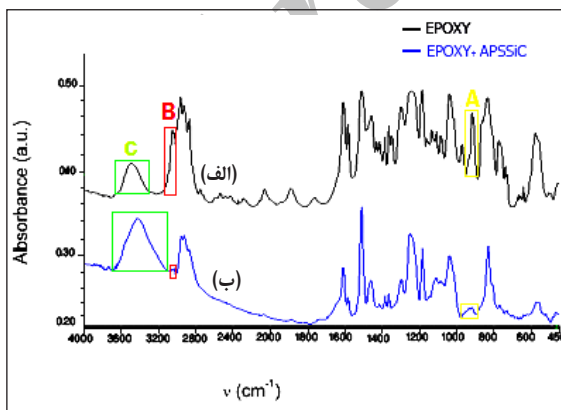
شکل ۹ نمودار تنش-کرنش

طیف جذبی SiC غوطه‌ورشده در HF پس از غوطه‌وری در HF، طیف SiC کمی تغییر می‌کند. تغییر قابل توجه، تشکیل گروه‌های سیلانول است. ظهور پیک شانه‌ای در حوالی 3650 cm^{-1} معرف گروه‌های انتهایی سیلانول (Si-OH) متصل به سطح است. پس از غوطه‌وری، ارتعاشات پیوندهای هیدروکربن‌ها، بین 2875 cm^{-1} و 3065 cm^{-1} قدری

بررسی شیمیایی بهوسیله‌ی طیف‌های IR تغییرات ساختار شیمیایی سطح SiC می‌تواند با طیف‌سنجی FT-IR مورد بررسی قرار گیرد. در طیف IR (شکل ۱۰) تفاوت جذب برای SiC، SiC غوطه‌ور شده در HF و APSSiC یا همان سیلیکون کاربید آمین دار شده به تصویر کشیده شده است.

Si-H و SiC و تبدیل آن به سیلانول و سپس سیلان دار شدن است [۱۰].

در طیف‌های شکل ۱۱ تغییرات نمونه‌ی رزین اپوکسی DGEBA پیش از اختلاط و پخت با پرکننده و پس از تکمیل فرایند پخت مشاهده می‌شود. طیف (الف) مربوط به رزین اپوکسی خام است و طیف (ب) مربوط به رزین اپوکسی پس از پخت با ماده‌ی پرکننده‌ی عامل‌دار شده است. پیک‌های شاخص و مورد توجه با حروف A، B و C مشخص شده‌اند. پیک A مربوط به پیوند C-O در حلقه‌ی اپوکسی است. همان‌طور که مشاهده می‌شود پیک ناحیه 915 cm^{-1} در طیف رزین اپوکسی به صورت قوی مشخص است اما در طیف مربوط به فراورده، بسیار ضعیف است که این به معنای باز شدن حلقه‌ی اپوکسی و انجام فرایند پخت است. پیک شاخص دیگر مربوط به پیوند C-H در حلقه‌ی اپوکسی است. این کربن پس از پخت رزین اپوکسی از حالت حلقه خارج می‌شود و CH-OH را تشکیل می‌دهد. مشاهده می‌شود که پیک B در طیف (الف) بسیار قوی‌تر نسبت به طیف (ب) است. اما پیک بعدی که مورد توجه است مربوط به پیوند C-OH است که درواقع از حلقه‌ی اپوکسی به وجود آمده و با حرف C مشخص شده است. تفاوت چشمگیر در طیف رزین اپوکسی پیش و پس از پخت، بیانگر کامل شدن واکنش پخت و تشکیل پیوندهای C-OH است.



شکل ۱۱ طیف‌جذبی (الف) رزین اپوکسی + پرکننده عامل‌دار شده و (ب) رزین اپوکسی

ضعیف می‌شوند و ارتعاشات ساختارهای $\text{C}-\text{H}_2$ و $\text{C}-\text{H}_3$ در عدد موج‌های پایین‌تر قابل مشاهده است. ادامه‌ی حضور نوار جذب بالاتر از 3000 cm^{-1} نشان می‌دهد که ماده طبیعت آب‌دوستی خود را حفظ کرده است. پیک گستره 2120 cm^{-1} نیز که مربوط به $\text{Si}-\text{H}$ است به علت تشکیل سیلانول ضعیف شده است.

طیف جذبی SiC پس از عامل‌دار کردن با APTES تأثیر اصلاح سازی با عامل آمینی را به تقریب می‌توان از طیف‌های APSSiC آماده شده در $10\text{ }\mu\text{m}$ درصد حجمی APTES مشاهده کرد. نکته‌ی قابل توجه این است که ارتعاشات سیلانول ناپدید شده‌اند و این امر نشان‌هندۀ مصرف این مواد در فرایند عامل‌دار کردن است. پیک‌های مهمی در 1525 cm^{-1} و 1625 cm^{-1} مؤید تغییرات گروه‌های پروتون دار شده متقارن و نامتقارن آمینی (NH_3^+) است. حضور رطوبت جذب شده، دوباره در نوارهای پهن بالای 3000 cm^{-1} آشکار می‌شود. همچنان پیک موجود در 1625 cm^{-1} به نظر می‌رسد از دو پیک تشکیل می‌شود؛ یکی مربوط به ارتعاشات گروه‌های O-H آب و دیگری مربوط به پیک‌های گروه‌های آمینی نامتقارن (NH_3^+) که پیش از این به آن اشاره شد. پیک‌های واقع شده در منطقه‌ی رطوبت یعنی 3190 cm^{-1} و 3270 cm^{-1} مربوط به ارتعاشات کشنشی متقارن گروه‌های N-H است. نکته‌ی قابل توجه دیگر، پیک‌های منظمی در 1395 cm^{-1} و 1450 cm^{-1} است که مربوط به گروه‌های اتوکسی روی سطح APTES است. این پیک‌ها نشان می‌دهند که پیوند مولکول‌های به سطح، از سیلان دار کردن یک یا دو گروه اتوکسی به وجود می‌آید. مد ارتعاشی گروه CH_2 در زنجیره‌ی پروپیل را می‌توان در 1300 cm^{-1} مشاهده کرد. همچنان پیک مربوط به ساختار سیلیکون متیلن در 1410 cm^{-1} قابل مشاهده است و این در حالی است که ارتعاشات گروه متیل انتهایی $\text{Si}-\text{CH}_3$ در 1360 cm^{-1} باقی‌مانده است. پیک ظاهر شده در 1475 cm^{-1} و پیک شانه‌ای در 1330 cm^{-1} ممکن است مربوط به تشکیل نمک آمین بیکربنات باشد که با CO_2 محیط تولید می‌شود. پیک موجود در 2120 cm^{-1} پس از سیلان دار کردن بسیار ضعیف شده است که بیانگر مصرف

نیز یک عامل مؤثر بر روی ویژگی‌های مکانیکی است. به‌منظور بهتر نمایان شدن تأثیر عامل دار کردن و زمان غوطه‌وری بر روی ویژگی‌های مکانیکی کامپوزیت، فرایند عامل دار کردن در بازه‌های زمانی متفاوت بر روی پیش ماده‌ی سیلانول انجام شد. نتیجه‌های بدهست آمده از بهبود ویژگی‌های مکانیکی با افزایش زمان غوطه‌وری سیلانول‌ها در مایع عامل دار کننده APTES است.

جدول ۴ بهبود مقاومت‌های کششی و ضربه‌ای رزین اپوکسی را در اثر آمین دار کردن پرکننده SiC نشان می‌دهد.

جدول ۴ مقدار ارتقای مقاومت کششی و مقاومت ضربه‌ای در اثر عامل دار شدن پرکننده

درصد ارتقای ویژگی‌ها	مقدارهای عامل دارشدن	مقدارهای عامل دارشدن	مقدارهای شیبیه‌سازی	مقاومت به
٪۲۰,۶	۵۲۵,۰	۴۳۵,۵	۴۳۹,۸۳	کشش MPa
٪۲۱,۳	۶۲,۱	۵۱,۲	۵۱,۹۴	ضربه KJ/m ²

نتیجه‌گیری

در این پژوهش با به‌کارگیری محاسبات نظری و بهره‌برداری از نرم‌افزار مینی تب بسیاری از آزمایش‌های اضافی حذف شده‌اند و با استفاده از نمودارهای دو بعدی و اوربیلد، نسبت بهینه برای ۳ مؤلفه اساسی یعنی مقدار پرکننده SiC، مقدار عامل پخت (هاردنر) و جهت‌گیری الیاف به دست آمد. سپس با تعیین مقدار اجزاء واکنش، فرایند تهیی سیلانول از سیلیکون کاربید، آمین دار کردن سیلانول و عملیات پخت آن با رزین اپوکسی انجام شد. نمونه‌های تهیی شده سپس مورد آزمون‌های کشش و ضربه قرار گرفتند. نتیجه‌های آزمون‌های مکانیکی حاکی از ارتقای ۶٪۲۰,۶ مقاومت کششی و ٪۲۱,۳ مقاومت ضربه‌ای با زمان غوطه‌وری ۶۰ دقیقه نسبت به مقدارهای بدهست آمده از نمونه‌های قبل از عامل دار کردن است. همچنین بررسی طیف‌های IR، بروز تغییرات در طیف‌ها را در فرایند آمین دار کردن پرکننده SiC و محصول پخت نهایی رزین اپوکسی نشان می‌دهد. تفاوت چشم‌گیر در دو طیف رزین اپوکسی قبل و پس از پخت، بیانگر کامل شدن واکنش پخت و تشکیل پیوندهای C-OH است. زمان غوطه‌وری

مراجع

- [1] Cholake, S.; mada R.K.; “Quantitative analysis of curing mechanism of epoxy resins by FTIR”, Sydney university, 2010.
- [2] Gonzales, M.; carlos, J.; “Application of FTIR on epoxy resins”, University of Madrid, Spain, 2006.
- [3] Oizhen, L.; Moon K.S.; “Improving thermal conductivity of Flip-Chip underfill material by interface modification”, Georgia institute of technology, 2010.
- [4] Grimsley, B.; Cano, R.J.; “Amine and anhydride curing agents on the VARTM matrix, NASA research center, 2002.
- [5] Sun C.T.; “Development of toughened and multifunctional nanocomposites”, West La-fayette, Indiana, 2012.
- [6] Chisholm, N.; Mahfuz, H.; Rangari, V.K.; Rodgers, R.M.; Jeelani, S.; “Synthesis & mechanical characterization of carbon/epoxy composites”, Tuskegee university, U.S.A, 2012.
- [7] Matsuo, Y.; “Chemical modification of graphene oxide”, Hyogo university, Japan, 2009.
- [8] Mann, A.P.; Tanaka, T.; Somasunderam, A.; Liu, X.; Gorenstein, D.G.; Ferrari, M.; Adv. Mater., 23, 278–282, 2011.
- [9] Bimbo, L.M.; Makila, E.; Laaksonen, T.; Lehto, V.P.; Salonen, J.; Hirvonen, J.; Santos, H.A.; Biomaterials, 32, 2625–2633, 2011.
- [10] Makila, M.; Bimbo, L.; Kaasalainen, M.; Langmuir, 28, 14045-14054, 2012.

Synthesis and application of aminated silicon carbide nano-filler to modify the mechanical properties of epoxy resin-based composite

S.M. Moosavi^{1,*}, M. Imamverdi², and A. Mirzaei²

1. Associate Prof. of Organic Chemistry, Department of Chemistry, Imam Hossein University, Tehran, Iran

2. MSc in Organic Chemistry, Department of Chemistry, Imam Hossein University, Tehran, Iran

Received: January 2015, Revised: May 2015, Accepted: June 2015

Abstract: In this research, the mechanical properties of an epoxy resin-based polymer composite have been improved by functionalized (aminated) silicon carbide (SiC) nanoparticles. Three parameters: packing angle of carbon fibers, the weight percent of SiC, and the amount of curing agent were first considered. By carrying out the calculations and computer simulations and drawing overlaid curve, the amount of each parameter was determined. The surface of SiC nanoparticles was then immersed in HF and converted to Si-OH. The process was continued by immersing the SiC nano particles in functionalizing agent liquid, (3-aminopropyl) triethoxysilane (APTES), in intervals of 30, 45, 60 and 75 minutes. The mechanical tests indicated an elevation of %20.6 strain resistance and %21.3 of impact resistance with immersing for 60 minutes. The IR spectra verified the formation of silanol groups and curing of epoxy resin.

Keywords: Epoxy resin-based composite, Nano-filler, Silicon carbide, Amination, Mechanical properties

*Corresponding author Email: smmoosavi26@yahoo.com